

Ханжаров Н.С.

**ТЕПЛООБМЕН В ЦИЛИНДРАХ ПОРШНЕВЫХ КОМПРЕССОРОВ
ВАКУУМНО-АТМОСФЕРНЫХ СУШИЛЬНЫХ УСТАНОВОК**

УДК: 66.047.2

В статье приводится математическая модель, описывающая турбулентное, нестационарное течение вязкого газа и теплообмен в рабочих цилиндрах холодильных поршневых компрессоров, используемых в вакуумно-атмосферных сушильных установках. Также в статье приводятся методика и результаты экспериментального исследования теплообмена в цилиндрах поршневых холодильных компрессоров.

In given clause the mathematical model describing turbulent, non-stationary current of viscous gas and heat exchange in working cylinders of the refrigerating piston compressors used in vacuum-atmospheric drying installations is resulted. And in given clause the technique and results of researches of heat exchange in piston refrigerating compressors of vacuum-atmospheric dryers are resulted.

В вакуумно-атмосферных сушильных установках [1,2] низко- и высокопотенциальная теплота вырабатывается холодильными машинами, которые, как правило, базируются на поршневых компрессорах. Холодильные машины являются одним из основных потребителей электроэнергии этих установок. Поэтому оптимизация технических характеристик этих машин с целью увеличения их производительности является актуальной проблемой. Разработка метода расчета нестационарного, турбулентного течения вязкого газа и нестационарного теплообмена в цилиндрах холодильных поршневых компрессоров способствовало бы решению этой проблемы.

Математическая модель, описывающая процессы, протекающие в цилиндрах поршневых компрессорах должна учитывать турбулентность и не стационарность течения вязкого газа – паров холодильного агента, учитывать переменность объемов цилиндров, которые в процессах всасывания и расширения газа увеличиваются и уменьшаются в процессах сжатия и нагнетания. Уравнения, с достаточной степенью адекватности описывающие течение газа в цилиндре холодильного поршневого компрессора, получены на основе уравнений движения, энергии и неразрывности. Применительно к цилиндрической системе координат уравнения, составляющие модель течения газа в цилиндре компрессора выглядят следующим образом:

$$\begin{aligned} \frac{\partial(\rho\bar{U})}{\partial\tau} + \frac{\rho\bar{U}}{S} \cdot \frac{dS}{d\tau} + \frac{1}{S} \cdot \frac{\partial}{\partial\eta} \left(\rho\bar{U} \left(\bar{U} - \eta \frac{dS}{d\tau} \right) \right) + \frac{1}{r} \cdot \frac{\partial(\rho \cdot \bar{V} \cdot \bar{U} \cdot r)}{\partial r} = \\ = -\frac{1}{S} \cdot \frac{\partial\bar{P}}{\partial\eta} + (\mu + \mu_t) \cdot \left(\frac{1}{S^2} \cdot \frac{\partial^2\bar{U}}{\partial\eta^2} + \frac{\partial^2\bar{U}}{\partial r^2} + \frac{1}{r} \cdot \frac{\partial\bar{U}}{\partial r} \right), \end{aligned} \quad (1)$$

$$\begin{aligned} \frac{\partial(\rho \cdot \bar{V})}{\partial\tau} + \frac{\rho\bar{V}}{S} \cdot \frac{dS}{d\tau} + \frac{1}{S} \cdot \frac{\partial}{\partial\eta} \left(\rho\bar{V} \left(\bar{U} - \eta \frac{dS}{d\tau} \right) \right) + \frac{1}{r} \cdot \frac{\partial(\rho \cdot \bar{V}^2 \cdot r)}{\partial r} = \\ = -\frac{\partial\bar{P}}{\partial r} + (\mu + \mu_t) \cdot \left(\frac{1}{S^2} \cdot \frac{\partial^2\bar{V}}{\partial\eta^2} + \frac{\partial^2\bar{V}}{\partial r^2} + \frac{1}{r} \cdot \frac{\partial\bar{V}}{\partial r} - \frac{\bar{V}}{r^2} \right), \end{aligned} \quad (2)$$

$$\begin{aligned} \frac{\partial(\rho \cdot \bar{T})}{\partial\tau} + \frac{\rho\bar{T}}{S} \cdot \frac{dS}{d\tau} + \frac{1}{S} \cdot \frac{\partial}{\partial\eta} \left(\rho\bar{T} \left(\bar{U} - \eta \frac{dS}{d\tau} \right) \right) + \frac{1}{r} \cdot \frac{\partial(\rho \cdot \bar{V} \cdot \bar{T} \cdot r)}{\partial r} = \\ = \frac{(\mu + \mu_t) \cdot K}{P_r} \cdot \left(\frac{1}{S^2} \cdot \frac{\partial^2\bar{T}}{\partial\eta^2} + \frac{\partial^2\bar{T}}{\partial r^2} + \frac{1}{r} \cdot \frac{\partial\bar{T}}{\partial r} \right) - \frac{P}{C_v S} \cdot \frac{dS}{d\tau}, \end{aligned} \quad (3)$$

$$\frac{\partial\rho}{\partial\tau} + \frac{\rho}{S} \cdot \frac{dS}{d\tau} + \frac{1}{S} \cdot \frac{\partial}{\partial\eta} \left(\rho \left(\bar{U} - \eta \frac{dS}{d\tau} \right) \right) + \frac{1}{r} \cdot \frac{\partial(\rho \cdot \bar{V} \cdot r)}{\partial r} = 0. \quad (4)$$

Уравнения (1-4) справедливы для процессов сжатия и расширения. Для процессов всасывания и нагнетания эти уравнения упрощаются, поскольку скорость движения газа в цилиндре много меньше скорости звука. Тогда моделируемую среду можно считать несжимаемой жидкостью. Следовательно, плотность газа в объеме цилиндра есть только функция времени, а член работы сжатия в уравнении сохранения энергии равен нулю, то есть:

$$\frac{P}{C_0 S} \cdot \frac{dS}{d\tau} = 0, \quad \rho = const. \quad (5,6)$$

В этом случае математическую модель можно привести к виду:

$$\frac{\partial(\rho\bar{U})}{\partial\tau} + \frac{\rho\bar{U}}{S} \cdot \frac{dS}{d\tau} + \frac{\rho}{S} \cdot \frac{\partial}{\partial\eta} \left(\bar{U} \left(\bar{U} - \eta \frac{dS}{d\tau} \right) \right) + \frac{\rho}{r} \cdot \frac{\partial(\bar{V} \cdot \bar{U} \cdot r)}{\partial r} =$$

$$= -\frac{1}{S} \cdot \frac{\partial\bar{P}}{\partial\eta} + (\mu + \mu_i) \cdot \left(\frac{1}{s^2} \cdot \frac{\partial^2\bar{U}}{\partial\eta^2} + \frac{\partial^2\bar{U}}{\partial r^2} + \frac{1}{r} \cdot \frac{\partial\bar{U}}{\partial r} \right), \quad (7)$$

$$\frac{\partial(\rho\bar{V})}{\partial\tau} + \frac{\rho\bar{V}}{S} \cdot \frac{dS}{d\tau} + \frac{\rho}{S} \cdot \frac{\partial}{\partial\eta} \left(\bar{V} \left(\bar{U} - \eta \frac{dS}{d\tau} \right) \right) + \frac{\rho}{r} \cdot \frac{\partial(\bar{V}^2 \cdot r)}{\partial r} = \frac{\partial\bar{P}}{\partial r} + (\mu + \mu_i) \cdot \left(\frac{1}{S^2} \cdot \frac{\partial^2\bar{V}}{\partial r^2} + \frac{\partial^2\bar{V}}{\partial r^2} + \frac{1}{r} \cdot \frac{\partial\bar{V}}{\partial r} - \frac{\bar{V}}{r^2} \right), \quad (8)$$

$$\frac{1}{S} \cdot \frac{\partial\bar{V}}{\partial\eta} + \frac{1}{r} \cdot \frac{\partial(\bar{V} \cdot r)}{\partial r} = -\frac{1}{\rho} \cdot \frac{\partial\rho}{\partial\tau}, \quad (9)$$

Реализация математических моделей в такой постановке вполне возможна. Однако возникает проблема «сшивки» результатов полученных отдельно для рабочих процессов «всасывание-нагнетание» и «расширение-сжатие». Поэтому целесообразно моделировать течение газа в цилиндрах поршневых компрессоров не разделяя рабочие процессы. С достаточным соответствием реальным процессам, происходящим в цилиндрах поршневых компрессоров, течение газа можно моделировать на основе уравнений (6-9). Решение задачи целесообразно начинать с момента, когда поршень компрессора находится в крайнем верхнем положении. В этот момент времени объемы цилиндров минимальны, а скорость движения поршней равны нулю. Поэтому в качестве начальных условий можно принять, что скорости \bar{U} и \bar{V} равны нулю, а температура \bar{T}_0 и давление \bar{P}_0 газа одинаковы по всему объему рассматриваемого цилиндра. При решении задачи приняты следующие граничные условия: на торце цилиндра: $\bar{U} = 0$; $\bar{V} = 0$; $\bar{T} = T_{T.Ц.}$, на стенках цилиндра: $\bar{U} = 0$; $\bar{V} = 0$; $\bar{T} = T_{C.Ц.}$, на поршне: $\bar{U} = U_B$; $\bar{V} = 0$; $\bar{T} = T_B$, (10)

А условия истечения из щелевого зазора клапанов можно записать в следующем виде:

$$V_{щ} = V_B \cdot \frac{S_B}{\sum S_{щ}} \quad (11)$$

Задачу течения газа и теплообмена в рабочих цилиндрах компрессора целесообразно решать методом конечных разностей по явной схеме. Для этого дифференциальные уравнения, описывающие течение газа в полостях, заменяются уравнениями в конечных разностях. При решении двухмерной (осесимметричной) задачи имеется шаг по сетке Δr вдоль оси R и $\Delta\eta$ вдоль оси η . В связи с этим функции непрерывного аргумента \bar{U} , \bar{V} , \bar{P} , \bar{T} , μ , μ_i заменяются функциями дискретного аргумента: \bar{U} в точках $[I + 0,5; J]$; \bar{V} в точках $[I + 0,5; J]$; \bar{P} , \bar{T} , μ , μ_i в точках $[I + 0,5; J + 0,5]$; Частные производные по пространству первого и второго порядка расписываются центральными разностными производными:

$$\frac{\partial\bar{U}}{\partial x} = \frac{\bar{U}(x_i + \Delta x, \tau) - \bar{U}(x_i - \Delta x, \tau)}{2\Delta x} \quad (12)$$

$$\frac{\partial^2\bar{U}}{\partial x^2} = \frac{1}{h} \cdot \left(\frac{\bar{U}(x+h) - \bar{U}(x-h)}{h} - \frac{\bar{U}(x) - \bar{U}(x-h)}{h} \right) =$$

$$\frac{\bar{U}(x+h) - 2\bar{U}(x) + \bar{U}(x-h)}{h^2}. \quad (13)$$

Все уравнения расписываются для сетки, линия $I=1$ которой, совпадает с поверхностью торца цилиндра, линия $I=N$ совпадает с поверхностью поршня, линия $J=0$ – с осью цилиндров, линия $J=M$ – с поверхностью стенки цилиндра. Количество узлов сетки определяется численным экспериментом. Для упрощения решения задачи, все конвективные и диффузионные члены уравнений сохранения количества движения заменяются массивами UB и VB , а сами уравнения для \bar{U}^{n+1} в точке $[I; J + 0,5]$ и \bar{V}^{n+1} в точке $[I + 0,5; J]$ представляются в следующем виде:

$$\bar{U}^{n+1}[I; J + 0,5] = UB[I; J + 0,5] - \frac{\bar{P}^{n+1}[I + 0,5; J + 0,5] - \bar{P}^{n+1}[I - 0,5; J + 0,5]}{\rho^{n+1} \cdot \frac{S^{n+1}}{N-1}} \quad (14)$$

$$\bar{V}^{n+1}[I; J + 0,5] = VB[I; J + 0,5] - \frac{\bar{P}^{n+1}[I + 0,5; J + 0,5] - \bar{P}^{n+1}[I + 0,5; J - 0,5]}{\rho^{n+1} \cdot \Delta r} \quad (15)$$

Аналогично записываются уравнения для \bar{U}^{n+1} в точке $[I + 1; J + 0,5]$ и \bar{V}^{n+1} в точке $[I + 1; J + 0,5]$:

$$\bar{U}^{n+1}[I + 1; J + 0,5] = UB[I + 1; J + 0,5] - \frac{\bar{P}^{n+1}[I + 1; J + 0,5] - \bar{P}^{n+1}[I + 0,5; J + 0,5]}{\rho^{n+1} \cdot \frac{S^{n+1}}{N-1}} \quad (16)$$

$$\bar{V}^{n+1}[I + 0,5; J + 1] = VB[I + 0,5; J + 1] - \frac{\bar{P}^{n+1}[I + 0,5; J + 1,5] - \bar{P}^{n+1}[I + 0,5; J + 0,5]}{\rho^{n+1} \cdot \Delta r} \quad (17)$$

После преобразований получается следующая формула:

$$\begin{aligned} & \frac{1}{S^{n+1}/(N-1)} \cdot (\bar{U}^{n+1}[I + 1; J + 0,5] - [I; J + 0,5]) + \frac{1}{(J + 0,5) \cdot \Delta r} \times \\ & ((J + 1) \cdot \bar{V}^{n+1}[I + 0,5; J + 1] - J \cdot \bar{V}^{n+1}[I + 0,5; J]) = \frac{1}{S^{n+1}/(N-1)} \times \\ & (UB[I + 1; J + 0,5] - UB[I; J + 0,5]) + \frac{1}{(J + 0,5) \cdot \Delta r} \cdot ((J + 1) \cdot VB[I + 0,5; J + 1]) - \\ & - J \cdot VB[I + 0,5; J] - \frac{1}{\rho^{n+1} (S^{n+1}/(N-1))^2} \cdot ((\bar{P}^{n+1}[I + 1,5; J + 0,5] - \bar{P}^{n+1}[I + 0,5; J + 0,5]) \cdot \Delta \tau) + \\ & + \frac{1}{\rho^{n+1} (S^{n+1}/(N-1))^2} \cdot ((\bar{P}^{n+1}[I + 0,5; J + 0,5] - \bar{P}^{n+1}[I - 0,5; J + 0,5]) \cdot \Delta \tau) - \\ & - \frac{1}{\rho^{n+1} (J + 0,5) \cdot (\Delta r)^2} \cdot ((J + 1) \cdot (\bar{P}^{n+1}[I + 0,5; J + 1,5] - \bar{P}^{n+1}[I + 0,5; J + 0,5]) \cdot \Delta \tau) + \\ & + \frac{1}{\rho (J + 0,5) \cdot (\Delta r)^2} \cdot (J \cdot (\bar{P}^{n+1}[I + 0,5; J + 0,5] - \bar{P}^{n+1}[I + 0,5; J - 0,5]) \cdot \Delta \tau) \end{aligned} \quad (18)$$

Левая часть уравнения (18) представляет разностный аналог величины $\alpha i \mathcal{G} \bar{W}$, которая для процессов, происходящих в цилиндрах, заранее определенная величина: $\alpha i \mathcal{G} \bar{W} = \frac{1}{\rho^2} \cdot \frac{\rho^{m+1} - \rho^m}{\Delta \tau}$

С учетом этого, из формулы (18) выводится уравнение, позволяющее определить значения локальных давлений газа в цилиндре:

$$\begin{aligned} \bar{P}^{n+1}[I + 0,5; J + 0,5] = & \left(\text{div} \bar{W}^{n+1} - \frac{S^{n+1}}{N-1} \cdot (UB[I + 1; J + 0,5] - UB[I; J + 0,5]) \right) + \frac{1}{(J + 0,5) \cdot \Delta r} \times \\ & ((J + 1) \cdot VB[I + 0,5; J + 1] - J \cdot VB[I + 0,5; J]) \cdot \frac{1}{\Delta \tau} + \left(\frac{N-1}{S^{n+1}} \right)^2 \cdot \left(\frac{\bar{P}^{n+1}[I + 1,5; J + 0,5] + \bar{P}^{n+1}[I + 0,5; J + 0,5]}{\rho^{n+1}} \right) + \\ & + \frac{1}{(J + 0,5) \cdot (\Delta r)^2} \cdot \left((J + 1) \cdot \bar{P}^{n+1}[I + 0,5; J + 1,5] + J \cdot \bar{P}^{n+1}[I + 0,5; J - 0,5] \right); \\ & : \left(\left(\frac{N-1}{S^{n+1}} \right)^2 \cdot \frac{2}{\rho^{n+1}} + \frac{1}{(J + 0,5) \cdot (\Delta r)^2} \right) \times \left(\frac{(J + 1) + J}{\rho^{n+1}} \right) \end{aligned} \quad (19)$$

При выводе уравнений предполагается линейная зависимость всех величин между точками, в которых они определены. Это справедливо применительно ко всему объему цилиндра, за исключением течения газа в пристеночной области, где зависимость между величинами носит нелинейный характер. Учет нелинейности в

пристеночной области производится методом введения «скользящих» величин на границе, которые выводятся из условия получения верной разностной производной и значений параметров течения газа в точке «1,5» с использованием предположения о возможности аппроксимации истинного профиля скорости в зоне действия закона «стенки» степенной функцией:

$$\bar{U} = k \cdot y^B, \quad (20)$$

где y – координата, перпендикулярная стенке.

Точка с координатой « y » попадает в зону действия закона «стенки» при условии:

$$y \leq 10^3 \cdot \nu / \sqrt{\frac{\tau w}{\rho}} \quad (21)$$

При выполнении этого условия узлы расчетной сетки, находящейся вблизи сетки, попадают в зону действия закона «стенки». Согласно формуле (20) и определения «скользящих» величин, должны выполняться равенства:

$$\begin{aligned} (U_{ck2} - U_{ck1}) / \Delta y &= kB((\Delta y) / 2)^{B-1}; \\ (U_{ck2} - U_{ck1}) / 2 &= k((\Delta y) / 2)^B \end{aligned} \quad (22), (23)$$

Решая систему уравнений (22) и (23) относительно U_{ck1} и U_{ck2} , можно получить следующие уравнения:

$$\begin{aligned} U_{cl1} &= k(\Delta y)^B \cdot (0,5) \cdot (1 - B); \\ U_{cl2} &= k(\Delta y)^B \cdot (0,5) \cdot (1 + B); \end{aligned} \quad (24), (25)$$

где $k(\Delta y)^B$ – «стенки». Для величин \bar{V} и \bar{T} уравнения для определения значений V_{ck1} , V_{ck2} и T_{ck1} , T_{ck2} имеют аналогичную структуру.

Поскольку разработанная модель реализуется методом по явной схеме, то для расчета поля скоростей, давлений и температур газа в цилиндрах поршневых компрессорах один из параметров должен быть заранее известным. С этой целью были проведены экспериментальные исследования быстроменяющихся параметров в рабочих цилиндрах поршневых компрессоров. При исследовании теплообмена в цилиндрах поршневых компрессоров целесообразно использовать метод анализа температурных колебаний поверхности стенок, который основан на представлении теплового потока q , как функции изменения температуры поверхности T_n с помощью приближенного решения задачи теплопроводности для полуограниченного тела [3, 4, 5 и другие].

На установившемся режиме работы компрессора быстроменяющиеся колебания температуры поверхности стенок цилиндров можно записать в виде:

$$T_n = T_{n.cp.} + \Delta T_n = T_{n.cp.} + \sum_{k=1}^{\infty} (A_k \cos k\omega\tau + B_k \sin k\omega\tau), \quad (26)$$

где A_k, B_k – коэффициенты разложения экспериментальной кривой ΔT_n в ряд Фурье; ω – угловая скорость; K – порядок гармоники; τ – текущее время.

Предполагается, что тепловой поток распространяется по нормали x к поверхности стенки в точке измерения, теплофизические свойства материала не зависят от температуры и температура с наружной стороны стенки постоянна. Решение дифференциального уравнения теплопроводности с принятыми граничными условиями имеет вид:

$$T_n = T_{n.cp.} - \frac{q_{cp}}{\lambda} + \sum_{k=1}^{\infty} e^{-x\sqrt{\frac{k\omega}{2a}}} \cdot \left[A_k \cos \left(k\omega\tau - x\sqrt{\frac{k\omega}{2a}} \right) + B_k \sin \left(k\omega\tau - x\sqrt{\frac{k\omega}{2a}} \right) \right], \quad (27)$$

где q_{cp} – стационарная составляющая теплового потока; λ, a – коэффициенты тепло – и температуропроводности материала стенки.

После дифференцирования уравнения (27) по x и умножения на $-x$, получается тепловой поток, величина которого при $x=0$ равна тепловому потоку от газа к стенке:

$$Q = q_{cp} + q_n = q_{cp} + \lambda \sum_{k=1}^{\infty} \sqrt{\frac{k\omega}{2a}} \cdot [(A_k + B_k) \cos k\omega\tau + (B_k - A_k) \sin k\omega\tau], \quad (28)$$

где q_n – переменная составляющая теплового потока.

Коэффициенты ряда Фурье – A_k, B_k рассчитываются по формулам Бесселя для приближенного гармонического анализа [5]:

$$\begin{aligned}
 A_k &= \frac{1}{V} \cdot \sum_{\lambda=1}^{2V} Y_{\lambda} \cdot \cos k \cdot \lambda \cdot \frac{\pi}{V} \\
 B_k &= \frac{1}{V} \cdot \sum_{\lambda=1}^{2V} Y_{\lambda} \cdot \sin k \cdot \lambda \cdot \frac{\pi}{V}
 \end{aligned}
 \tag{29}$$

где Y_{λ} - текущая ордината изменения температуры поверхности; $K= 1, 2, \dots (V - 1)$.

Формула (28) позволяет рассчитывать локальные тепловые потоки q с использованием экспериментальных кривых $\Delta T_n=f(\tau)$. Тогда мгновенные коэффициенты теплообмена между газом и стенками цилиндров можно определить по формуле Ньютона:

$$\alpha_{me}=q/(T_z-T_n) \tag{30}$$

Экспериментальные исследования коэффициентов теплообмена между газом и стенками цилиндров проведены на базе вертикального ходильного поршневого холодильного компрессора. Схема измерений мгновенных температур поверхности стенок цилиндров, температур и давлений газа в цилиндрах компрессора представлена на рисунке 1. Для измерения температуры поверхности стенок были изготовлены пленочные термометры сопротивления с толщиной чувствительного элемента до 600 Å, имеющие начальное сопротивление при температуре окружающей среды 293 К порядка 3000 Ом. Мгновенное значение температуры поверхности – $T_{n.мг}$. описывалось выражением (26). Измерение мгновенной температуры поверхности осуществлялось с помощью тензостанции 8АНЧ-7М. С этой целью был собран измерительный мост на базе тензоусилителя – 6, магазина сопротивления Р-33 – 10 и датчика температуры поверхности – 1. Изменение температуры поверхности стенки приводило к изменению сопротивления чувствительного элемента ДТП, включенного в одно из плеч измерительного моста.

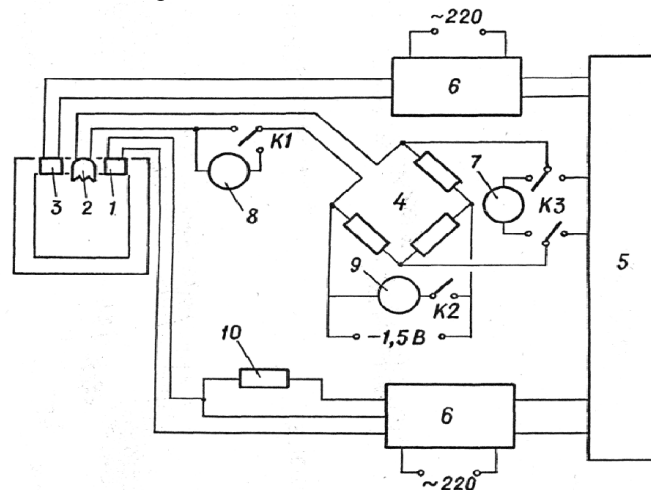


Рисунок 1 - Схема экспериментальной установки: 1, 2, 3– датчики температур газа, поверхности и давления; 4 – мост постоянного тока; 5 – осциллограф; 6 – тензостанция; 7 – гальванометр; 8 – миллиамперметр; 9 – вольтметр; 10 – магазин сопротивлений.

Постоянная составляющая мгновенной температуры поверхности выделялась магазином сопротивлений при уравнивании моста. Сигнал по переменной составляющей усиливался тензоусилителем и затем поступал на шлейф светолучевого осциллографа Н-117/1 – 5. Для расшифровки осциллограмм температурных колебаний на рабочей поверхности стенок цилиндров производилось тарирование осциллограмм в единицах сопротивления. Результаты тарировки позволяют рассчитать масштабный коэффициент осциллограммы K_n :

$$K_n = \frac{\Delta R_n}{\Delta I_n} \cdot \frac{\Delta T_{д.т.п.}}{\Delta R_{д.т.п.}}, \tag{31}$$

где ΔR_n , ΔI_n – изменение сопротивлений в декадах магазина сопротивлений и соответствующее им изменение высоты тарировочных импульсов; $\Delta T_{д.т.п.}/\Delta R_{д.т.п.}$ - чувствительность датчика температуры поверхности к изменению температуры, определяемая по результатам тарировки датчика.

В экспериментальные значения колебаний температур на поверхности вводился поправочный коэффициент, учитывающий различие теплофизических характеристик материала подложки датчика и материала стенки цилиндра [4]:

$$T_{цил.} = T_{подл.} \sqrt{\frac{(\lambda \cdot C \cdot \rho)_{подл.}}{(\lambda \cdot C \cdot \rho)_{цил.}}}, \tag{32}$$

Погрешность пленочного термометра сопротивления, определяемая его тепловой инерционностью, рассматривалась как время выравнивания профиля температуры в пленке при мгновенном изменении температуры на ее рабочей поверхности [3]:

$$\tau = 200 \cdot l^2 / \alpha_{подл.}, \quad (33)$$

где l – толщина чувствительного элемента датчика; $\alpha_{подл.}$ – коэффициент температуропроводности материала подложки.

Мгновенное значение быстроменяющихся температуры газа в рабочих цилиндрах $T_{г.мг.}$ описывалось выражением:

$$T_{г.мг.} = T_{г.сп.} + \Delta T_g, \quad (34)$$

где $T_{г.сп.}$, ΔT_g – постоянная и переменная составляющие мгновенной температуры газа.

Постоянная составляющая температуры газа измерялась с использованием моста постоянного тока МО-62 класса 0,1. Для этого с помощью моста постоянного тока – 4 определялось изменение сопротивления чувствительного элемента датчика температуры газа – 2, подключенного к клеммам моста МО – 62. Переменная составляющая температуры газа регистрировалась светолучевым осциллографом – 5. Тарирование осциллограмм производилось на светолучевом осциллографе путем имитирования изменений сопротивления чувствительного элемента ДТГ с помощью магазина Р-33. По результатам тарировки рассчитывался масштабный коэффициент осциллограммы K_z :

$$K_z = \frac{\Delta \sqrt{R_z}}{\Delta I_z} \cdot \frac{\Delta T_{д.т.г.}}{\Delta R_{д.т.г.}}, \quad (35)$$

где ΔR_z , ΔI_z – изменение сопротивления магазина Р-33 и соответствующее изменение высоты тарировочной линии на осциллограмме; $\Delta T_{д.т.г.}/\Delta R_{д.т.г.}$ – чувствительность ДТГ, определяемая по результатам тарировки датчика.

Погрешность датчика температуры газа зависит от нагрева питающим током, тепловой инерционности, теплообмена излучением между проволокой и стенкой цилиндра, от тока тепла через опорные концы проволоки и других факторов [4]:

$$\begin{aligned} T_{np.} - T_{cp.} = & \frac{i^2 \cdot R_{np}}{\alpha \cdot \pi \cdot d_{np} \cdot l_{np}} - \frac{d_{np} \cdot \rho_{np} \cdot C_{np}}{4\alpha} \cdot \frac{\partial T_{np}}{\partial \tau} \pm \frac{c}{\alpha} \left[\left(\frac{T_{np}}{100} \right)^4 - \left(\frac{T_c}{100} \right)^4 \right] \pm \\ & \pm \frac{T_c - T_{cp}}{l_{np} \cdot \sqrt{\frac{4\alpha}{d_{np} \cdot \lambda_{np}}}} \pm \frac{(T_c - T_{np}) \cdot \lambda_{\phi} \cdot \frac{t - B}{h \cdot \ln t / B}}{\lambda_{mp} \cdot \frac{t - B}{h \cdot \ln t / B} + \frac{\pi \alpha}{\sqrt{\frac{4\alpha}{d_{np} \cdot \lambda_{np}}}}} \cdot \frac{1}{2 \sqrt{\frac{4\alpha}{d_{np} \cdot \lambda_{np}}}} + \frac{T_{мор} - T_{cp}}{5,2}, \end{aligned} \quad (36)$$

где: T_{np} – температура проволоки датчика; T_{cp} – температура измеряемой среды; C – коэффициент излучения; t – шаг укладки проволоки; T_c – температура стенки возле датчика; B , h , S – геометрические размеры опорной проволочной решетки; $T_{мор}$ – температура заторможенного потока на поверхности проволоки; α – коэффициент теплообмена между газом и проволокой, который определяется методом двух токов; d_{np} – диаметр проволоки; ρ_{np} , C_{np} – плотность и теплоемкость материала проволоки.

Процесс измерения давления газа в цилиндре сводился к регистрации сигнала, идущего с чувствительного элемента мембранного датчика давления, с помощью светолучевого осциллографа. Изменение быстроменяющихся давлений газа приводит к деформации мембраны датчика ТДДМ-3, что вызывает изменение активного сопротивления тензорезисторов ПКВ-5-100. В результате на диагонали измерительного моста появляется сигнал в виде модулированного напряжения несущей частоты, который после усиления тензоусилителем – 6 подается на шлейф осциллографа Н-117/1 – 5. Соединение датчика с цилиндром осуществлялось трубкой малого диаметра. При этом имеет место запаздывание сигнала датчика от действительного значения давления газа в данный момент времени. Угол запаздывания определялся по формуле:

$$\Delta \varphi = 360 \cdot f \cdot \tau = 360 \frac{l}{\sqrt{k \cdot R \cdot T_{cp}}}, \quad (37)$$

где τ – время распространения звуковой волны; f – площадь проходного сечения; l – длина соединительного канала; T_{cp} – средняя температура в нагнетательном патрубке.

Расшифровка осциллограмм быстроменяющихся давлений газа в цилиндре компрессора производилась по результатам их тарировки. С использованием тарировочных коэффициентов осциллограммы температур

поверхности и газа пересчитывались в температуру поверхности подложки ДТГ и температуру проволоки ДТГ. Температура газа в цилиндре рассчитывалась по полученному из формулы (36) выражению:

$$T_{cp} = T_{np} + \frac{d_{np} \cdot \rho_{np} \cdot c_{np}}{4\alpha} \cdot \frac{\partial T_{np}}{\partial \tau} \quad (38)$$

Коэффициенты теплообмена между газом и проволокой определялись методом двух токов из уравнения:

$$\alpha = \frac{(i_2^2 \cdot R_{np2} - i_1^2 \cdot R_{np1}) - m_{np} \cdot C_{np} \cdot \left(\frac{\partial T_{np2}}{\partial \tau} - \frac{\partial T_{np}}{\partial \tau} \right)}{F_{np} \cdot (T_{np2} - T_{np1})} \quad (39)$$

где: R_{np1}, R_{np2} - сопротивления, полученные при токах 5 и 12 мА.

Суммарная относительная погрешность при измерении быстроменяющихся температуры поверхности, температуры газа и давлений в полостях определялась по формуле:

$$\delta_{\Sigma} = 2\delta_r + \delta_{\theta} + \delta_0^1 + \delta_A + \delta_{\lambda}, \quad (40)$$

где: $\delta_r, \delta_{\theta}, \delta_0^1, \delta_A, \delta_{\lambda}$ – погрешности от: установки светового пятна гальванометра; тарировки осциллограмм; нелинейности амплитудной характеристики измерительной цепи; нелинейности амплитудно-частотной характеристики измерительной цепи.

Суммарная относительная погрешность при измерении основных рабочих параметров компрессора составляет: для быстроменяющихся температур поверхности стенок цилиндров $\delta_{\Sigma1} = 4,7\%$; для быстроменяющихся температур газа в полостях $\delta_{\Sigma2} = 3,5\%$; для быстроменяющихся давлений $\delta_{\Sigma3} = 3,5\%$.

Результаты экспериментальных исследований теплообмена в цилиндрах поршневого компрессора показали, что их численные значения колеблются в пределах (450 – 1900) Вт/м². могут быть использованы при моделировании и оптимизации рабочих конструкций вакуумно-атмосферных сушильных установок.

Литература:

1. Ханжаров Н.С., Абдижаппарова Б.Т. Разработка процесса вакуумно-атмосферной сушки пищевых материалов // Материалы междунар. научно-практич. конф. «Стратегия развития пищевой и легкой промышленности». – Алматы: АТУ. - 2004, Т.1. - С.371-373.
2. Касымбеков Б.А., Ханжаров Н.С., Абдижаппарова Б.Т. Тепломассообмен при вакуумно-атмосферной сушке твердо-влажных и жидко-вязких продуктов // Вестник НАН РК, 2005, №4, с.97-100.
3. Ховах М.С., Поляков Ю.А., Родионов В.А. О методике исследования теплоотдачи в двигателе внутреннего сгорания с помощью пленочных термометров сопротивления. – Известия вузов, Машиностроение, 1971, № 9, с. 91-96.
4. Розенблит Г.Б., Виленский П.И., Горелик Я.И. Датчики с проволочными преобразователями. – М.: Машиностроение, 1976. – 216 с.